

具有 Markov 跳跃参数的一类非线性系统的鲁棒反馈镇定^{*}

李大鹏, 季海波, 朱进, 奚宏生

(中国科学技术大学自动化系, 安徽合肥 230027)

摘要: 利用随机控制的 Lyapunov 设计方法, 研究了一类带 Markov 跳跃参数的随机非线性混合系统的鲁棒控制问题。给出了受方差不确定的 Wiener 噪声干扰的跳跃严格反馈系统的镇定设计, 该设计可使稳态误差在 4 阶矩意义下收敛到一个小范围内。

关键词: 随机稳定性; Markov 跳跃系统; Backstepping 方法; 扰动抑制; 混合系统

中图分类号: TP13

文献标识码: A

The robust feedback stabilization of a class of nonlinear systems with Markovian jumping

LI Da-peng, JI Hai-bo, ZHU Jin, XI Hong-sheng

(Dept. of Automation, University of Science and Technology of China, Hefei 230027, China)

Abstract: The robust control problem of a class of stochastic nonlinear hybrid systems with Markovian jumps was studied. A stochastic Lyapunov design method was applied for parametric strict-feedback systems with Markovian jumps. An effective control scheme is obtained to guarantee that the closed-loop stochastic system is stable and the error could converge to a small residual set around the origin in the sense of 4th moment.

Key words: stochastic stability; Markovian jump systems; backstepping techniques; disturbance attenuation; hybrid systems

0 引言

线性跳跃系统(jump linear systems)最先由 Krasovskii 以及 Lidskii 于 20 世纪 60 年代提出。随后, 这一类系统得到了广泛的重视。跳跃系统在制造系统、社会经济系统中有着广泛的应用^[1,2]。

Markov 跳跃系统实际上是一类随机混合系统(hybrid system), 该系统的状态向量包含 $x(t)$ 、 $r(t)$

两部分, 其中, $x(t)$ 为状态(state), $r(t)$ 为模态(regime)。在系统运行过程中, 由于系统可以随机地从一个模态跳跃到另一个模态, 因此, 整个系统就显现出随机特性。模态间的跳跃以连续时间、有限离散模态 Markov 过程的形式进行; 当模态保持不变时, 则以确定性系统的方式运行。

近年来, 非线性 Markov 跳跃系统受到了一定程度的关注。MAO 给出了 Markov 跳跃系统的稳

* 收稿日期: 2004-11-02; 修回日期: 2005-02-23

基金项目: 高等学校博士点专项基金(20050358044)资助。

作者简介: 李大鹏, 男, 1981 年生, 硕士。研究方向: Markov 跳跃系统。E-mail: dpli@ustc.edu

通讯作者: 季海波, 博士/教授。E-mail: jihb@ustc.edu.cn

定性分析,涉及 p 阶矩的指数稳定^[3],依分布稳定^[4]等;Aliyu 讨论了非线性 Markov 跳跃系统的无源性理论^[5]以及 H_∞ 控制^[6];文献[7]分析了此类系统的实用镇定设计及能控性分析.

对于带 Wiener 噪声的严格反馈系统,Deng^[8]提出了噪声-状态稳定(noise-state stability, NSS)以及相应的鲁棒镇定设计.文献[9]则针对具有不确定噪声的严格反馈系统,利用 Lyapunov 控制设计和backstepping方法,研究了其镇定、扰动抑制问题.

本文考察一类严格反馈非线性系统的鲁棒镇定问题,系统中除了 Markov 跳跃之外,还含有方差不确定的 Wiener 噪声.利用 backstepping 方法,我们得出了鲁棒镇定设计,使得系统满足在 4 阶矩意义下的噪声-状态稳定.

1 问题描述

考察下面的参数严格反馈形式的 Markov 跳跃系统

$$\left. \begin{aligned} dx_i &= x_{i+1} dt + \varphi_i(\bar{x}_i, t, \mathbf{r}(t)) dt + \mathbf{g}_i(\bar{x}_i, t, \mathbf{r}(t))^T dw \\ &\quad i = 1, 2, \dots, n-1 \\ dx_n &= u dt + \varphi_n(x, t, \mathbf{r}(t)) dt + \mathbf{g}_n(x, t, \mathbf{r}(t))^T dw \end{aligned} \right\} \quad (1)$$

其中, $\mathbf{x} = (x_1, x_2, \dots, x_n)^T \in \mathbb{R}^n$ 是系统状态,并记 $\bar{x}_i = (x_1, x_2, \dots, x_i)^T$, $u \in \mathbb{R}$ 为输入, $\mathbf{r}(t)$ 为一个连续时间有限模态的 Markov 过程,并记其模态(regime)在有限集 $S = \{1, 2, \dots, N\}$ 中取值. Markov 过程的转移率矩阵 $\mathbf{\Pi} = [\pi_{i,j}]$, $(i, j \in S)$, 转移率由式(2)给出

$$P(\mathbf{r}(t+h) = i | \mathbf{r}(t) = j) = \begin{cases} \pi_{i,j}h + o(h), & i \neq j \\ 1 + \pi_{i,j}h + o(h), & i = j \end{cases} \quad (2)$$

式中, $\pi_{i,i} = - \sum_{j \neq i} \pi_{i,j}$, $o(h)$ 为高阶无穷小, 满足 $o(h)/h \rightarrow 0$, $\forall k \in S$, $\varphi_i(\cdot, \cdot, k)$ 为光滑标量函数,且其在原点处取 0 值; \mathbf{g}_i 是 r 维光滑向量值函数; 噪声干扰 w 是定义于概率空间 (Ω, \mathcal{F}, P) 上的 r 维独立 Wiener 过程,其中, Ω 为样本空间, \mathcal{F} 为 σ 代数, P 为概率测度, 记增量 dw 的协方差为 $\Delta \Delta^T dt$, 即均值

$$E\{dw \cdot dw^T\} = \Delta(t)\Delta(t)^T dt \quad (3)$$

其中,函数矩阵 $\Delta(t)$ 是范数有界但不确定的.

为了研究式(1)系统,先对如下的随机微分方程

$$dx = f(x, t, \mathbf{r}(t)) dt + \mathbf{g}(x, t, \mathbf{r}(t)) dw \quad (4)$$

给出有关引理和记号.式中, $x \in \mathbb{R}^n$, Wiener 噪声 w 定义于概率空间 (Ω, \mathcal{F}, P) , 函数 $f: \mathbb{R}^n \times \mathbb{R} \times S \rightarrow \mathbb{R}^n$ 和 $\mathbf{g}: \mathbb{R}^n \times \mathbb{R} \times S \rightarrow \mathbb{R}^n$ 是光滑的,且有 $f(0, t, k) = 0, \mathbf{g}(0, t, k) = 0, \forall t \geq 0, \forall k \in S$. 如果 $V \in C^{2,1}(\mathbb{R}^n \times \mathbb{R}_+ \times S; \mathbb{R}_+)$, 定义关于 V 的无穷小算子 $\mathcal{L}V$ 为

$$\begin{aligned} \mathcal{L}V &= \frac{\partial V(x, t, k)}{\partial t} + \frac{\partial V(x, t, k)}{\partial x} f(x, t, k) + \\ &\quad \frac{1}{2} \text{Tr} \left[\Delta^T \mathbf{g}^T \frac{\partial^2 V(x, t, k)}{\partial x^2} \mathbf{g} \Delta \right] + \\ &\quad \sum_{j=1}^N \pi_{k,j} V(x, t, j) \end{aligned} \quad (5)$$

出于研究带噪声的扰动抑制问题的需要,文献[8]首先提出了噪声-状态稳定(NSS),这实际上是输入-状态稳定(ISS)的推广.下面给出 p 阶矩意义下噪声-状态稳定(NSS)的定义.

定义 1.1(NSS 稳定性) 式(4)随机系统称为 p 阶矩意义下的噪声-状态稳定,是指存在正整数 p , 以及 \mathcal{KL} 函数 β 和 \mathcal{K} 类函数 γ ,使得不等式

$$E|x|^p \leq \gamma(\sup_{s \in [0, t]} |\Delta(s)\Delta(s)^T|) + \beta(|x_0|, t) \quad (6)$$

对 $\forall t \geq 0, \forall x_0 \in \mathbb{R}^n$ 成立.

引理 1.2 考虑式(4)系统,假设存在 $V(x, t, l) \in C^{2,1}(\mathbb{R}^n, \mathbb{R}_+, S)$, 正常数 c, a_1, a_2 , 以及 Borel 可测的 \mathcal{K} 函数 η 使得

$$a_1|x|^p \leq V(x, t, l) \leq a_2|x|^p \quad (7)$$

$$\mathcal{L}V \leq -c|x|^p + \eta(|\Delta\Delta^T|) \quad (8)$$

那么该系统在 p 阶矩意义下 NSS 稳定.

证明 首先定义停时 $\tau_k = \inf\{t \geq 0: |x(t)| \geq k\}$, 当 $k \rightarrow \infty$ 时, $\tau_k \rightarrow \infty$. 注意到,如果 $0 \leq t \leq \tau_k$, 则 $0 < |x(t)| \leq k$,于是运用广义 Itô 公式^[3]得

$$\begin{aligned} E[e^{(a_2/c)t} V(x(t \wedge \tau_k), t \wedge \tau_k, \mathbf{r}(t \wedge \tau_k))] &= \\ V(x_0, 0, \mathbf{r}(0)) + E \int_0^{t \wedge \tau_k} e^{(a_2/c)s} &[(a_2/c)V(x(s), s, \mathbf{r}(s)) + \\ \mathcal{L}V(x(s), s, \mathbf{r}(s))] ds \leq \\ V(x_0, 0, \mathbf{r}(0)) + E \int_0^{t \wedge \tau_k} e^{(a_2/c)s} &[(c/a_2)a_2|x(s)|^p - \\ c|x(s)|^p + \eta(|\Delta(s)\Delta(s)^T|)] ds = \\ V(x_0, 0, \mathbf{r}(0)) + E \int_0^{t \wedge \tau_k} e^{(a_2/c)s} \eta &(|\Delta(s)\Delta(s)^T|) ds \end{aligned} \quad (9)$$

令 $k \rightarrow \infty$,且对不等式左边运用 Fatou 引理,右边用单调收敛原理,得到

$$\begin{aligned} E[\mathbb{E}^{(a_2/c)t}V(\mathbf{x}(t), t, \mathbf{r}(t))] &\leqslant \\ V(x_0, 0, \mathbf{r}(0)) + \\ E \int_0^t e^{(a_2/c)s} \eta(|\Delta(s)\Delta(s)^T|) ds \end{aligned} \quad (10)$$

到
\$\forall t \geqslant 0\$, 对式(10)运用积分中值定理可以得

$$\begin{aligned} a_1 E|\mathbf{x}|^p &\leqslant EV(\mathbf{x}(t), t, \mathbf{r}(t)) \leqslant \\ e^{-(a_2/c)t}V(x_0, 0, \mathbf{r}(0)) + \\ (c/a_2)\eta \left(\sup_{s \in [0, t]} |\Delta(s)\Delta(s)^T| \right) \end{aligned} \quad (11)$$

因此,由定义 1.1 知,该系统在 \$p\$ 阶矩意义下噪声-状态稳定(NSS).

引理 1.3(Young 不等式) 对于任意两个向量 \$\mathbf{x}, \mathbf{y} \in \mathbb{R}^n\$, 有下面的不等式成立

$$\mathbf{x}^T \mathbf{y} \leqslant \frac{\epsilon^p}{p} |\mathbf{x}|^p + \frac{1}{q\epsilon^q} |\mathbf{y}|^q \quad (12)$$

式中, \$\epsilon > 0\$, 常数 \$p > 1, q > 1\$, 且满足 \$(p-1) \cdot (q-1) = 1\$.

2 控制设计

为了简化讨论, 假设我们可以确知每一时刻系统所处模态, 也就是 \$\mathbf{r}(t)\$ 的值. 事实上, 如何取得 \$\mathbf{r}(t)\$ 的值也是跳跃系统的一个重要课题. 下面采用 backstepping 递归设计思想 来设计式(1)系统的镇定方案. 首先进行坐标变换

$$z_i = x_i - \alpha_{i-1}(\bar{x}_{i-1}, t, \mathbf{r}(t)), i = 1, 2, \dots, n \quad (13)$$

式中, 取 \$\alpha_0 = 0, \mathbf{z} = (z_1, z_2, \dots, z_n)^T\$ 是变换后的状态坐标. 因 \$\varphi_i(0, \cdot) = 0\$, 平衡点 \$x = 0\$, 不受系统所处模态的影响, 故可令 \$\alpha_i(0, \cdot, \cdot) = 0\$, 利用 Itô 随机微分公式, 得到

$$\begin{aligned} dz_i &= (x_{i+1} + \varphi_i) dt + \mathbf{g}_i^T d\mathbf{w} - d\alpha_{i-1} = \\ &= \left[z_{i+1} + \alpha_i + \varphi_i - \sum_{j=1}^{i-1} \frac{\partial \alpha_{i-1}}{\partial x_j} (x_{j+1} + \varphi_j) - \right. \\ &\quad \left. \frac{\partial \alpha_{i-1}}{\partial t} - \frac{1}{2} \sum_{p,q=1}^{i-1} \frac{\partial^2 \alpha_{i-1}}{\partial x_p \partial x_q} \mathbf{g}_p^T \Delta \Delta^T \mathbf{g}_q - \right. \\ &\quad \left. \sum_{j=1}^N \pi_{r(t), j} \alpha_{i-1}(\bar{x}_{i-1}(t), t, \mathbf{r}(t)) \right] dt + \\ &\quad \left(\mathbf{g}_i^T - \sum_{j=1}^{i-1} \frac{\partial \alpha_{i-1}}{\partial x_j} \mathbf{g}_j^T \right) d\mathbf{w} \end{aligned} \quad (14)$$

式中, \$i = 1, 2, \dots, n\$, 为了记号方便, 约定 \$z_{n+1} = 0\$ 且 \$\alpha_n = u\$.

我们选用 4 次 Lyapunov 函数

$$V(z) = \frac{1}{4} \sum_{i=1}^n z_i^4 \quad (15)$$

下面计算 \$V\$ 沿式(1)系统的时间变化率

$$\begin{aligned} \mathcal{L}V &= \sum_{i=1}^n z_i^3 \left[z_{i+1} + \alpha_i + \varphi_i - \right. \\ &\quad \left. \sum_{j=1}^{i-1} \frac{\partial \alpha_{i-1}}{\partial x_j} (x_{j+1} + \varphi_j) - \frac{\partial \alpha_{i-1}}{\partial t} - \right. \\ &\quad \left. \frac{1}{2} \sum_{p,q=1}^{i-1} \frac{\partial^2 \alpha_{i-1}}{\partial x_p \partial x_q} \mathbf{g}_p^T \Delta \Delta^T \mathbf{g}_q - \right. \\ &\quad \left. \sum_{j=1}^N \pi_{r(t), j} \alpha_{i-1}(\cdot, \cdot, \mathbf{r}(t)) \right] + \\ &\quad \frac{3}{2} \sum_{i=1}^n z_i^2 \left(\mathbf{g}_i^T - \sum_{j=1}^{i-1} \frac{\partial \alpha_{i-1}}{\partial x_j} \mathbf{g}_j^T \right) \Delta \Delta^T \cdot \\ &\quad \left(\mathbf{g}_i - \sum_{j=1}^{i-1} \frac{\partial \alpha_{i-1}}{\partial x_j} \mathbf{g}_j \right) \leqslant \\ &\quad \sum_{i=1}^n z_i^3 \left[\left(\frac{3}{4} \delta_i^{\frac{4}{3}} + \frac{1}{4 \delta_{i-1}^4} \right) z_i + \alpha_i + \right. \\ &\quad \left. \varphi_i - \sum_{j=1}^{i-1} \frac{\partial \alpha_{i-1}}{\partial x_j} (x_{j+1} + \varphi_j) - \frac{\partial \alpha_{i-1}}{\partial t} + \right. \\ &\quad \left. \lambda z_i^3 \sum_{p,q=1}^{i-1} \left(\frac{\partial^2 \alpha_{i-1}}{\partial x_p \partial x_q} \right)^2 \mathbf{g}_p^T \mathbf{g}_p \mathbf{g}_q^T \mathbf{g}_q + \right. \\ &\quad \left. \mu z_i \left[\left(\mathbf{g}_i - \sum_{j=1}^{i-1} \frac{\partial \alpha_{i-1}}{\partial x_j} \mathbf{g}_j \right)^T \left(\mathbf{g}_i - \sum_{j=1}^{i-1} \frac{\partial \alpha_{i-1}}{\partial x_j} \mathbf{g}_j \right) \right]^2 - \right. \\ &\quad \left. \sum_{j=1}^N \pi_{r(t), j} \alpha_{i-1}(\bar{x}_{i-1}(t), t, \mathbf{r}(t)) \right] + k |\Delta \Delta^T|^2 \end{aligned} \quad (16)$$

式中, \$i = 1, 2, \dots, n\$.

在式(16)的推导过程中, 我们使用了 Young 不等式估计来分离不同的 \$z_i\$, 以便表达式 \$\mathcal{L}V\$ 中的各项通过选择适当的 \$\alpha_i\$ 进行处理. 得到

$$\begin{aligned} \sum_{i=1}^n z_i^3 z_{i+1} &\leqslant \frac{3}{4} \sum_{i=1}^{n-1} \delta_i^{\frac{4}{3}} z_i^4 + \frac{1}{4} \sum_{i=1}^{n-1} \frac{1}{\delta_i^4} z_{i+1}^4 = \\ &\quad \sum_{i=1}^n \left(\frac{3}{4} \delta_i^{\frac{4}{3}} + \frac{1}{4 \delta_{i-1}^4} \right) z_i^4 \end{aligned} \quad (17)$$

其中, \$\delta_0 = \infty, \delta_n = 0, \delta_i > 0, i = 1, 2, \dots, n-1\$. 故

$$\begin{aligned} \frac{1}{2} \sum_{i=1}^n z_i^3 \sum_{p,q=1}^{i-1} \frac{\partial^2 \alpha_{i-1}}{\partial x_p \partial x_q} \mathbf{g}_p^T \Delta \Delta^T \mathbf{g}_q &\leqslant \\ &\quad \sum_{i=1}^n \lambda z_i^6 \sum_{p,q=1}^{i-1} \left(\frac{\partial^2 \alpha_{i-1}}{\partial x_p \partial x_q} \right)^2 |\mathbf{g}_p|^2 |\mathbf{g}_q|^2 + \\ &\quad \sum_{i=1}^n \sum_{p,q=1}^{i-1} \frac{1}{16\lambda} |\Delta \Delta^T|^2 = \\ &\quad \sum_{i=1}^n \lambda z_i^6 \sum_{p,q=1}^{i-1} \left(\frac{\partial^2 \alpha_{i-1}}{\partial x_p \partial x_q} \right)^2 \mathbf{g}_p^T \mathbf{g}_p \mathbf{g}_q^T \mathbf{g}_q + \\ &\quad \frac{|\Delta \Delta^T|^2}{96\lambda} (n-1)n(2n-1) \end{aligned} \quad (18)$$

$$\begin{aligned} & \frac{3}{2} \sum_{i=1}^n z_i^2 \left(\mathbf{g}_i^T - \sum_{j=1}^{i-1} \frac{\partial \alpha_{i-1}}{\partial x_j} \mathbf{g}_j^T \right) \Delta \mathbf{A}^T \left(\mathbf{g}_i - \sum_{j=1}^{i-1} \frac{\partial \alpha_{i-1}}{\partial x_j} \mathbf{g}_j \right) \leqslant \\ & \sum_{i=1}^n \mu z_i^4 \left[\left(\mathbf{g}_i - \sum_{j=1}^i \frac{\partial \alpha_{i-1}}{\partial x_j} \mathbf{g}_j \right)^T \left(\mathbf{g}_i - \sum_{j=1}^i \frac{\partial \alpha_{i-1}}{\partial x_j} \mathbf{g}_j \right) \right]^2 + \\ & \sum_{i=1}^n \frac{9}{16\mu} |\Delta \mathbf{A}^T|^2 \end{aligned} \quad (19)$$

其中, $\lambda > 0, \mu > 0$, 并记为

$$k = \frac{(n-1)n(2n-1)}{96\lambda} + \frac{9n}{16\mu} \quad (20)$$

考虑到虚拟控制 α_i 需要保证 $\mathcal{L}V$ 满足引理 1.2, 同时各个 α_i 要能按递归方式逐个求得. 因此可以选定计算虚拟控制

$$\begin{aligned} \alpha_i = & -c_i z_i - \left(\frac{3}{4} \delta_i^{\frac{4}{3}} + \frac{1}{4\delta_{i-1}^{\frac{1}{3}}} \right) z_i - \\ & \varphi_i + \sum_{j=1}^{i-1} \frac{\partial \alpha_{i-1}}{\partial x_j} (\bar{x}_{j+1} + \varphi_j) + \frac{\partial \alpha_{i-1}}{\partial t} - \\ & \lambda z_i^3 \sum_{p,q=1}^{i-1} \left(\frac{\partial^2 \alpha_{i-1}}{\partial x_p \partial x_q} \right)^2 \mathbf{g}_p^T \mathbf{g}_p \mathbf{g}_q^T \mathbf{g}_q - \\ & \lambda z_i^3 \left[\left(\mathbf{g}_i - \sum_{j=1}^{i-1} \frac{\partial \alpha_{i-1}}{\partial x_j} \mathbf{g}_j \right)^T \left(\mathbf{g}_i - \sum_{j=1}^{i-1} \frac{\partial \alpha_{i-1}}{\partial x_j} \mathbf{g}_j \right) \right]^2 + \\ & \sum_{j=1}^N \pi_{r(t),j} \alpha_{i-1} (\bar{x}_{i-1}(t), t, \mathbf{r}(t)) \end{aligned} \quad (21)$$

式中, 常数 $c_i > 0, i = 1, 2, \dots, n$, 而实际控制输入为

$$u = \alpha_n \quad (22)$$

将式(21)带入式(16)得到

$$\begin{aligned} \mathcal{L}V \leqslant & - \sum_{i=1}^n c_i z_i^4 + k |\Delta \mathbf{A}^T|^2 \leqslant \\ & -cV + k |\Delta \mathbf{A}^T|^2 \end{aligned} \quad (23)$$

式中, $c = \min\{c_i \mid 1 \leqslant i \leqslant n\}$.

综上所述, 且由引理 1.2 我们可以得到如下定理:

定理 2.1 式(1)系统在式(21)和(22)反馈控制率的作用下, 满足

$$\begin{aligned} E |z(t)|^4 \leqslant & e^{-ct} |z(0)|^4 + \\ & \frac{4k}{c} \sup_{s \in [0, t]} |\Delta(s) \Delta(s)^T|^2 \end{aligned} \quad (24)$$

即, 反馈控制率使得系统满足 NSS 稳定.

这里注意到 $x = 0$ 当且仅当 $z = 0$.

3 算例

考查一个二阶系统并设 $S = \{1, 2\}$, 且系统的转移率矩阵为 $\Pi = \begin{bmatrix} -2 & 2 \\ 4 & -4 \end{bmatrix}$, 系统的动力学方程为

$$\begin{aligned} dx_1 = & x_2 dt + \varphi_1(x_1, \mathbf{r}(t)) dt, \\ dx_2 = & u dt + \varphi_2(x, \mathbf{r}(t)) dt + \\ & g_2(x, \mathbf{r}(t)) dw. \end{aligned}$$

其中, $\varphi_1(x_1, 1) = x_1^2, \varphi_1(x_1, 2) = x_1 \sin x_1, \varphi_2(x, 1) = x_1 x_2, \varphi_2(x, 2) = x_1^2 \sin x_2, g_2(x, 1) = \sin x_2, g_2(x, 2) = x_2^2$.

按照所给出的设计方法, 计算该系统的控制律为(取 $\delta_1 = \delta_2 = 1$):

当 $\mathbf{r}(t) = 1$ 时,

$$\begin{aligned} \alpha_1 = & - \left(c_1 + \frac{3}{4} \right) z_1 - x_1^2, \\ \alpha_2 = & - (c_2 + 1 + \mu \sin^2 x_2) z_2 - x_1 x_2 + \\ & \frac{\partial \alpha_1}{\partial t} + \frac{\partial \alpha_1}{\partial x_1} (x_1^2 + x_2) + \\ & \pi_{1,1} \alpha_1(\cdot, \cdot, 1) + \pi_{1,2} \alpha_1(\cdot, \cdot, 2); \end{aligned}$$

当 $\mathbf{r}(t) = 2$ 时,

$$\begin{aligned} \alpha_1 = & - \left(c_1 + \frac{3}{4} \right) z_1 - \sin x_1, \\ \alpha_2 = & - (c_2 + 1 + \mu x_2^4) z_2 - x_1^2 \sin x_2 + \\ & \frac{\partial \alpha_1}{\partial t} + \frac{\partial \alpha_1}{\partial x_1} (x_1 \sin x_1 + x_2) + \\ & \pi_{2,1} \alpha_1(\cdot, \cdot, 1) + \pi_{2,2} \alpha_1(\cdot, \cdot, 2). \end{aligned}$$

仿真计算中, 有关的设计参数为 $c_1 = c_2 = 5, \mu = 100$, 噪声方差为 $\Delta(t) = 1 + 0.5 \sin(0.4t)$, 计算初始值取为 $x_1(0) = 7.5, x_2(0) = -2.5, \mathbf{r}(0) = 1$, 时间步长取为 $\Delta(t) = 0.01$ s. 状态响应曲线、控制曲线以及模态跳跃过程曲线分别如图 1~3 所示. 从图中可以看出, 状态被调节到平衡点, 且误差被控制到较小范围. 本文方案的计算结果表现出良好的扰动抑制性能.

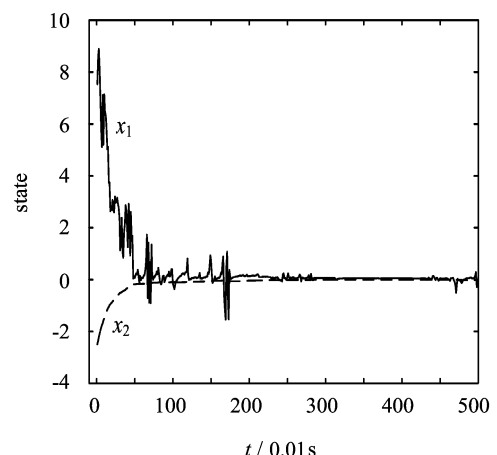


图 1 闭环系统状态曲线

Fig. 1 State of closed-loop system

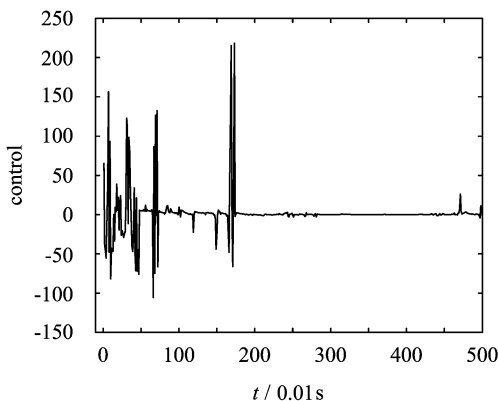


图 2 反馈控制曲线

Fig. 2 Feedback control

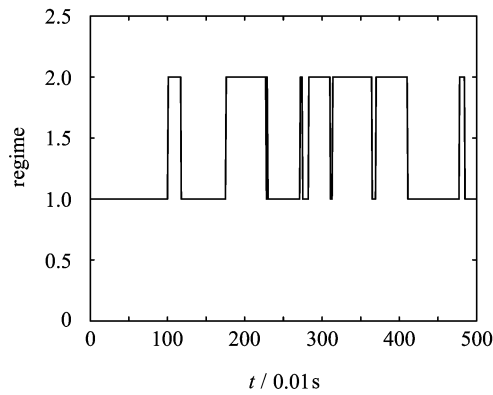


图 3 模态曲线

Fig. 3 Markovian mode

4 结论

本文研究了一类参数严格反馈形式的随机 Markov 跳跃系统, 通过构造 4 次随机控制 Lyapunov 函数和运用 backstepping 的递归设计方法, 获得了使系统在 4 阶矩意义下的噪声-状态稳定, 推广了随机非线性系统及非线性 Hybrid 系统

研究的范围.

参考文献(References)

- [1] Mariton M. Jump Linear Systems in Automatic Control[M]. New York:Marcel Dekker, 1990.
- [2] Sethi S P, Zhang Q. Hierarchical Decision Making in Stochastic Manufacturing Systems [M]. Berlin: Birkhauser, 1994.
- [3] MAO Xue-rong. Stability of stochastic differential equations with Markovian switching [J]. Stochastic Processes and Their Applications, 1999, 79(1):45-67.
- [4] YUAN Cheng-gui, MAO Xue-rong. Asymptotic stability in distribution of stochastic differential equations with Markovian switching [J]. Stochastic Processes and Their Applications, 2003, 103(2):277-291.
- [5] Aliyu M D S. Dissipativity and stability of nonlinear jump systems [C] // Proceedings of the American Control Conference, 1999; 795-799.
- [6] Aliyu M D S, Boukas E K. \mathcal{H}_∞ control for Markovian jump nonlinear systems[C] // 37th CDC 98, Tampa, Florida, 1998; 766-771.
- [7] Sthanathan S, Keel L H. Optimal practical stabilization and controllability of systems with Markovian jumps [J]. Nonlinear Analysis, 2003, 54:1 011-1 027.
- [8] Deng H, Krstić M, Williams R J. Stabilization of stochastic nonlinear systems driven by noise of unknown covariance [J]. IEEE Trans. Automat. Contr., 2001, 46:1 237-1 253.
- [9] JI Hai-bo, XI Hong-sheng, CHEN Zhi-fu, et al. Robust adaptive tracking of stochastic nonlinear systems with uncertain noises[J]. Control Theory and Applications, 2003, 20(6):843-848.
季海波, 奚宏生, 陈志福, 等. 具有不确定噪声的随机非线性系统的鲁棒自适应跟踪[J]. 控制理论与应用, 2003, 20:843-848.